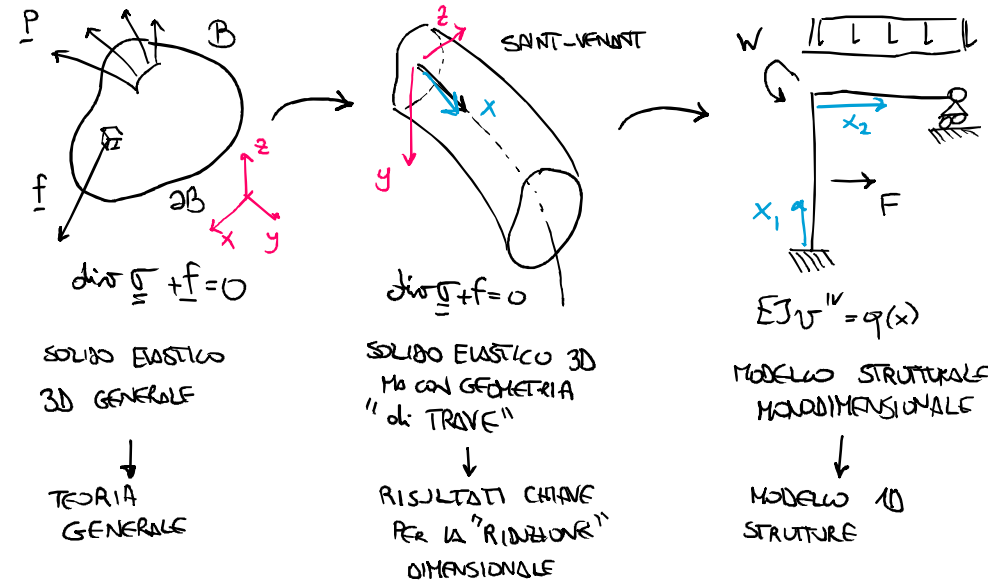


Elementi Finiti nella Meccanica Strutturale

Travi e strutture inflesse

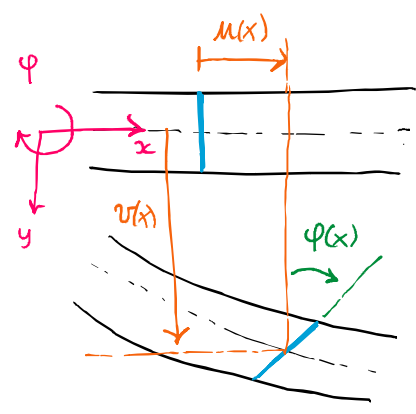
Marco Rossi

TEORIA STRUTTURALE delle TRAVI



DA SAINT VENANT SI RICAVANO LE CARATTERISTICHE DEL MODELLO 1D

IPOTESI di NAVIER
SEZIONI PIANO, TRASVERSE RIMANGONO PIANE



$u(x), v(x)$: SPOSTAMENTO DELL'ASSE MEDIO

$\varphi(x)$: ROTAZIONE della SEZIONE

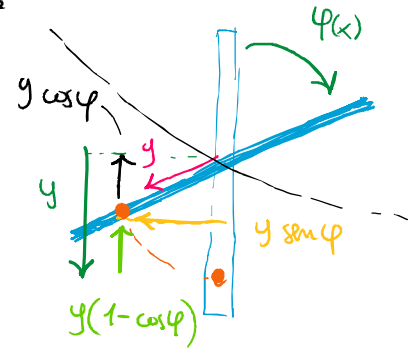
$u_x(x,y)$ SPOSTAMENTI del GENERALE PUNTO (x,y) DELLA SEZIONE

$u_y(x,y)$

LO SPOSTAMENTO del GENERALE PUNTO della SEZIONE 2'

$$\begin{cases} u_x = u_x(x,y) = u(x) - y \sin \varphi(x) \\ u_y = u_y(x,y) = v(x) - y(1 - \cos \varphi(x)) \end{cases}$$

LO SPOSTAMENTO GENERALE SI PUO' SCRIVERE COME FUNZIONE DEGLI SPOSTAMENTI e ROTAZIONI dell'ASSE MEDIO (FUNZIONI di x)



IPOTESI di PICCOLI SPOSTAMENTI

$$\begin{cases} \cos \varphi(x) \approx 1 \\ \sin \varphi(x) \approx \varphi(x) \end{cases}$$

$$\begin{cases} u_x(x,y) = u(x) - y \varphi(x) \\ u_y(x,y) = v(x) \end{cases}$$

DEFORMAZIONI

$$\begin{aligned} \epsilon_x(x,y) &= \frac{\partial u_x}{\partial x} = \frac{\partial u(x)}{\partial x} - y \frac{\partial \varphi(x)}{\partial x} \\ \gamma_{xy}(x,y) &= \frac{\partial u_x}{\partial y} + \frac{\partial u_y}{\partial x} = -\varphi(x) + \frac{\partial v(x)}{\partial x} \end{aligned}$$

$$\epsilon_y(x,y) = \frac{\partial u_y}{\partial y} = \frac{\partial v(x)}{\partial y} = 0$$

NON C'E' DILATAZIONE IN DIREZIONE y

$$\begin{cases} \epsilon_x = \frac{du(x)}{dx} - y \frac{d\varphi(x)}{dx} \\ \gamma_{xy} = -\varphi(x) + \frac{dv(x)}{dx} \end{cases}$$

IPOTESI di TRAVE SNELLA - MODELLO di EULER-BERNOULLI

IN UNA TRAVE SNELLA, LE SEZIONI RIMANGONO ORTOGONALI ALLI ASSE della TRAVE

ROTAZIONE della SEZIONE E' UGUALE ALLA ROTAZIONE dell'ASSE NEUTRO

$$\varphi(x) = \frac{dv(x)}{dx}$$

IPOTESI 2:
EULERO-BERNOULLI

$$\rightarrow \varphi(x) = \frac{dV(x)}{dx} \rightarrow \gamma_{xy} = \varphi - \frac{dV}{dx} = 0$$

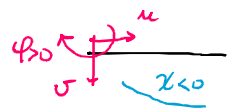
LO SCORRIMENTO È NULLO, MA DEL SAINT-VENANT. (NOTO LA REAZIONE)

$$d\gamma_{xy} = \frac{dT}{GA_s} \rightarrow dT = GA_s d\gamma_{xy}$$

VALORE FINITO
DEVE ESSERE INFINITO
∞ · 0 = K

NELLA TRAVE DI EULERO-BERNOULLI LA RIGIDEZZA AL TAGLIO È INFINITA

GA_s → ∞, NELLE TRAVI SNELLE SI TRASCURA LA DEFORMABILITÀ AL TAGLIO



IN GENERALE

$$\epsilon_x(x) = \frac{du}{dx} - y \frac{d\varphi}{dx}, \quad \epsilon_y(x) = 0, \quad \gamma_{xy}(x) = -\varphi(x) + \frac{dV(x)}{dx}$$

$\frac{du}{dx}$ → $\eta(x)$ → DEFORMAZIONE LONGITUDINALE ASSE MEDIO
 $-y \frac{d\varphi}{dx}$ → $-\chi(x)$ → CURVATURA
 $-\varphi(x) + \frac{dV(x)}{dx}$ → $t(x)$ → SCORRIMENTO (NULLO PER MODELLO EB)

QUINDI
 $\begin{cases} \epsilon_x(x) = \eta(x) + y \chi(x) \\ \gamma_{xy}(x) = t(x) \end{cases} \rightarrow$ ORA SFRUTTATO IL PLV PER DEFINIRE IL LEGAME TRA QUANTITÀ CINEMATICHE E STATICHE

LAVORO INTERNO:

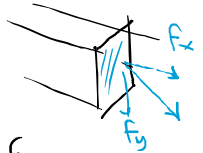
$$dL_{int} = \int_V \underline{\underline{\sigma}} \cdot \underline{\underline{\epsilon}} = \int_V \sigma_x \epsilon_x + \tau_{xy} \gamma_{xy} = \int_0^l \left[\int_A \sigma_x (\eta(x) + y \chi(x)) + \tau_{xy} t(x) dA \right] dx$$

$$= \int_0^l \left\{ \underbrace{\eta(x)}_{N(x)} \int_A \sigma_x + \underbrace{\chi(x)}_{M(x)} \int_A \sigma_x y + \underbrace{t(x)}_{T(x)} \int_A \tau_{xy} \right\} dx = \int_0^l \left\{ \eta(x) N(x) + \chi(x) M(x) + t(x) T(x) \right\} dx$$

DA QUI SI CAPISCE QUANTO SONO LE QUANTITÀ STATICHE COLLEGATE A QUELLE CINEMATICHE

LAVORO ESTERNO:

$$\underline{f} = \{f_x, f_y\} \text{ è FORZA DI VOLUME} \quad [f] = \frac{F}{L^3}$$



$$dL_{ext} = \int_V u_x f_x + u_y f_y = \int_V (u(x) - y \varphi(x)) f_x + v(x) f_y =$$

$$= \int_0^l \left\{ u(x) \int_A f_x dA - \varphi(x) \int_A y f_x + v(x) \int_A f_y \right\} dx = \int_0^l \left\{ u(x) p(x) + \varphi(x) m(x) + v(x) q(x) \right\} dx$$

$\int_A f_x dA$ → $p(x)$ → CARICO ASSIALE PER UNITÀ DI LUNGHEZZA
 $-\varphi(x) \int_A y f_x$ → $-m(x)$ → MOMENTO DISTRIBUITO PER UNITÀ DI LUNGHEZZA
 $\int_A f_y$ → $q(x)$ → CARICO TRASVERSALE

QUINDI IL PLV PER LE TRAVI È:

$$\int_0^l \left\{ \eta(x) N(x) + \chi(x) M(x) + t(x) T(x) \right\} dx = \int_0^l \left\{ u(x) p(x) + v(x) q(x) + \varphi(x) m(x) \right\} dx$$

MODELLO CINEMATICO:

CON GRUENZA:

$$\begin{cases} u_x(x,y) = u(x) - y \varphi(x) \\ v_y(x,y) = v(x) \end{cases} \quad \begin{cases} \epsilon(x) = \varrho(x) + y \chi(x) \\ \gamma(x) = t(x) \end{cases}$$

EQUILIBRIO INDEFINITO + EQUIVALENZA STATICA

RICAVIAMO L'EQUILIBRIO della TRAVE del SOLIDO ELASTICO alla SAINT-VENANT

IPOTESI SAINT-VENANT

$$\begin{cases} \text{div}(\underline{\underline{\sigma}}) + \underline{\underline{f}} = 0 \\ \underline{\underline{\sigma}} \underline{\underline{m}} = 0 \end{cases} \quad \begin{array}{l} i) \sigma_y = \sigma_z = 0, \text{ TRASCURABILI} \\ ii) \text{ SUP. LATERALE del SOLIDO SCARICO} \end{array}$$

PER FARE I CONTI CORRETTAMENTE SI CONSIDERA ANCHE T_{xz}

$$\underline{\underline{\sigma}} = \begin{bmatrix} \sigma_x & \tau_{xy} & \tau_{xz} \\ \tau_{xy} & 0 & 0 \\ \tau_{xz} & 0 & 0 \end{bmatrix} \quad \underline{\underline{\sigma}} \underline{\underline{m}} = \begin{bmatrix} \sigma_x & \tau_{xy} & \tau_{xz} \\ \tau_{xy} & 0 & 0 \\ \tau_{xz} & 0 & 0 \end{bmatrix} \begin{bmatrix} M_1 \\ M_2 \\ M_3 \end{bmatrix} = \begin{bmatrix} 0 \\ 0 \\ 0 \end{bmatrix}$$

C. CONDIZIONE $\tau_{xy} M_2 + \tau_{xz} M_3 = 0$

EQ. INDEFINITE EQUILIBRIO

SI POSSONO TROVARE ANCHE QUELLE ALLA ROTAZIONE RISP. ASSI z

$$\begin{cases} \frac{\partial \sigma_x}{\partial x} + \frac{\partial \tau_{xy}}{\partial y} + \frac{\partial \tau_{xz}}{\partial z} + f_x = 0 \\ \frac{\partial \tau_{xy}}{\partial x} + f_y = 0 \end{cases}$$

$$\frac{\partial \tau_{xz}}{\partial x} \cdot y + \frac{\partial \tau_{xy}}{\partial y} \cdot y + \frac{\partial \tau_{xz}}{\partial z} \cdot y + f_x \cdot y = 0$$

DERIVANDO dall'EQUILIBRIO ALLA TRASLAZIONE

SCRIVO LE EQUAZIONI in FORMA SEMI-INDEFINITA

$$\begin{cases} \int_A \left(\frac{\partial \sigma_x}{\partial x} + \frac{\partial \tau_{xy}}{\partial y} + \frac{\partial \tau_{xz}}{\partial z} + f_x \right) = 0 \quad (1) & \text{TRASLAZIONE} \\ \int_A \left(\frac{\partial \tau_{xy}}{\partial x} + f_y \right) = 0 \quad (2) & \text{ROTAZIONE} \\ \int_A \left(\frac{\partial \sigma_x}{\partial x} y + \frac{\partial \tau_{xy}}{\partial y} y + \frac{\partial \tau_{xz}}{\partial z} y + f_x \cdot y \right) = 0 \quad (3) & \end{cases}$$

EQUAZ. (1)

$$\frac{d}{dx} \int_A \sigma_x + \int_A \left(\frac{\partial \tau_{xy}}{\partial y} + \frac{\partial \tau_{xz}}{\partial z} \right) + \int_A f_x = 0$$

↓

$$\frac{dN(x)}{dx} = -p(x)$$

EQ. EQUILIBRIO IN DIREZIONE ASSIALE!!

USO IL TEOREMA di GAUSS

$$\int_A \frac{\partial \tau_{xy}}{\partial y} + \frac{\partial \tau_{xz}}{\partial z} = \int_A \text{div} \begin{bmatrix} 0 \\ \tau_{xy} \\ \tau_{xz} \end{bmatrix} = \int_{\partial A} \begin{bmatrix} 0 \\ \tau_{xy} \\ \tau_{xz} \end{bmatrix} \cdot \begin{bmatrix} M_1 \\ M_2 \\ M_3 \end{bmatrix} = \int_{\partial A} \tau_{xy} M_2 + \tau_{xz} M_3 = 0 \quad \text{PER LE C. CONDIZIONE}$$

EQUAZ. (2)

$$\int_A \frac{\partial \tau_{xy}}{\partial x} + \int_A f_y = \frac{d}{dx} \int_A \tau_{xy} + \int_A f_y = 0$$

$$\frac{dT(x)}{dx} = -q(x)$$

EQ. CONDIZIONE di TRAVE IN DIREZIONE TRASVERSALE

EQUAZ. (3)

$$\int_A \frac{\partial}{\partial x} (\sigma_x y) - \int_A \sigma_x \frac{\partial y}{\partial x} + \int_A \frac{\partial}{\partial y} (\tau_{xy} y) - \int_A \tau_{xy} \frac{\partial y}{\partial y} + \int_A \frac{\partial}{\partial z} (\tau_{xz} y) - \int_A \tau_{xz} \frac{\partial y}{\partial z} + \int_A f_x y = 0$$

$$\frac{dM(x)}{dx} = T(x) - m(x)$$

EQUILIBRIO alla ROTAZIONE

ABBIAMO RICAVATO le EQUAZIONI DI EQUILIBRIO del
CORSO DI TRAVE A PARTIRE dal SOLIDO di SAINT-VENANT !!

MANCA IL LEGAME COSTITUTIVO

CON LE IPOTESI STATICHE E CINEMATICHE SI HA

$$\sigma_{xy} = \sigma(x) = E (\eta(x) + y \chi(x))$$

$$\tau_{xy} = \tau_{yx}(x) = G \gamma(x)$$

ORA SI POSSONO UNIRE EQ. del LEGAME COSTITUTIVO in
EQUIVALENZA STATICA

$$N(x) = \int_A \sigma(x) dA = \int_A E \eta(x) + \int_A y E \chi(x) =$$

$$= E \eta(x) \int_A dA + E \chi(x) \int_A y dA = EA \eta(x)$$

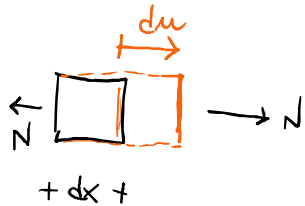
$$N(x) = EA \eta(x)$$

$S_z = 0$
MOMENTO STATICO
NULLO

INOLTRE $\eta(x) = \frac{du}{dx} \rightarrow$

$$du = \frac{N}{EA} dx$$

SPOSTAMENTO INFINITESIMO
della SEZIONE



$$M(x) = \int_A \sigma_x \cdot y dA = \int_A E \eta(x) \cdot y + \int_A E y^2 \chi(x) = E \eta(x) \int_A y dA + E \chi(x) \int_A y^2 dA = E J \chi(x)$$

$$M(x) = EJ \chi(x)$$

LEGAME MOMENTO
CURVATURA
(LINEA ELASTICA)

$S_z = 0$
MOMENTO STATICO
NULLO

J_z

$$\chi(x) = -\frac{d\psi(x)}{dx} \rightarrow$$

$$d\psi = -\frac{M(x)}{EJ} dx$$

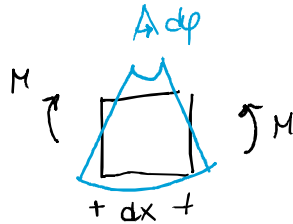
ROTAZIONE
INFINITESIMA
DELLA SEZIONE

NEL MODELLO di EULERO-BERNOULLI

$\psi(x) = \frac{d\psi(x)}{dx}$ ROTAZ. della
SEZIONE PARI ALL'ASSE
ROTAZIONE dell'ASSE
MEGLIO

$$\chi(x) = -\psi''(x)$$

$\chi(x)$ è LA CURVATURA della
TRAVE

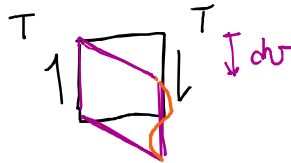


EQ. LINEA ELASTICA SECONDO
EULERO-BERNOULLI

$$\psi''(x) = -\frac{M(x)}{EJ}$$

LA DEFORMAZIONE a TAGLIO è PIÙ DELICATA

ENTRA IN GIOCO IL
FATTORE di TAGLIO



SI ASSUME la VALGA
JOURAWSKI

$$\tau = \frac{T}{J} S^*$$

PROBLEMI
AL BORDO



τ_{xz} e τ_{yz} NON SONO PIÙ
INDIPENDENTI ed ENTRANO NEL
CAMPO di DEFORMAZIONE

CLAUPEYRON (LAVORO LUNGO INFINITESIMO)

$$\frac{1}{2} T d\gamma = \frac{1}{2} \int_V \sigma_{ij} \cdot \epsilon_{ij} = \frac{1}{2} \int_V \sigma_{ij} \cdot C_{ijkl}^{-1} \sigma_{kl} =$$

$$= \frac{1}{2G} \int_V \tau_{xy}^2 + \tau_{xz}^2 = \frac{d^2}{2G} \int_A (\tau_{2x}^2 + \tau_{2y}^2) d^2$$

$$T \frac{d\gamma}{dz} = \frac{1}{G} \int_A \tau_{xy}^2 (1 + \alpha(y)) = \frac{1}{G} \frac{\tau}{A_s}$$

$$\gamma_{xy} = \frac{T}{GA_s}$$

DEFORMABILITÀ
AL TAGLIO

MODELLO EB
 $\gamma = 0, T$ FINITO
 $GA_s \rightarrow \infty$

TRAVE DI EULERO-BERNOULLI (TRAVE SNELLI)

- $v'(x) = \varphi(x) \rightarrow$ SLIPPAMENTO NULLO \rightarrow NO DEFORMABILITÀ AL TAGLIO
- PORTAZIONE DELLA SEZIONE IDENTICA ALLA PORTAZIONE DELL'ASSE ($\chi(x)$ è CURVATURA DELL'ASSE)
- SUPPONGO DI TRASCURARE $m(x)$ PER SEMPLICITÀ
- SUPPONGO DI CONSIDERARE SOLO PARTE FLESSIONALE ($m(x)$ PRODUCE DEF. ASSIALI, DISACCOPIATO)

MODELLO CINEMATICO

CONGRUENZA:

$$\begin{cases} u_x(x,y) = -y v'(x) \\ u_y(x,y) = v(x) \end{cases}$$

$$\begin{cases} \epsilon(x) = -y v''(x) \\ \gamma(x) = 0 \end{cases}$$

LEGAME COSTITUTIVO + EQUIVALENZA STATICA

$$v''(x) = -\frac{M(x)}{EJ}$$

EQUILIBRIO

$$\begin{cases} \frac{dT}{dx} = -q(x) \\ \frac{dM}{dx} = T(x) \end{cases} \rightarrow$$

$$\frac{d^2M}{dx^2} = \frac{dT}{dx}$$

$$\frac{d^2M(x)}{dx^2} = -q(x)$$

EQUAZIONE DELLA LINEA ELASTICA DEL 4° ORDINE

$$\frac{d^2}{dx^2} \left[-EJ \frac{d^2 v(x)}{dx^2} \right] = -q(x) \rightarrow \left[EJ v''(x) \right]' = q(x), \quad x \in [0, l] \quad \text{EQUAZIONE DIFF. 4° ORDINE}$$

Se $EJ = \text{cost}$

$$EJ v''''(x) = q(x)$$

EQUAZIONE DI EQUILIBRIO PER TRAVE ELASTICA OMOGENEA SECONDO IL MODELLO DI EULERO-BERNOULLI

BISOGNA CONSIDERARE ANCHE LE CONDIZIONI AL CONFINO

• $v(x), \varphi(x) = v'(x) \rightarrow$ C. CONFINO ESSENZIALI (QUANTITÀ CINEMATICHE)

• $M(x) = -EJ v''(x), T(x) = -EJ v'''(x) \rightarrow$ C. CONFINO NATURALI (QUANTITÀ STATICHE)

$$\begin{cases} v(0) = v_0 \\ v'(0) = v'_0 \\ v''(0) = v''_0 \\ v'''(0) = v'''_0 \end{cases} \quad \begin{cases} v(L) = v_L \\ v'(L) = v'_L \\ v''(L) = v''_L \\ v'''(L) = v'''_L \end{cases}$$

BISOGNA FISSARE ALCUNE DI QUESTE

FORMA DEBOLE

$$\begin{cases} EJ v''''(x) - q(x) = 0, \quad x \in [0, l] \\ v(x), v'(x), v''(x), v'''(x), \quad x = 0 \vee x = l \end{cases}$$

\rightarrow RICOVO LA FORMA DEBOLE CON IL METODO DEL RESIDUO PESATO

$$\int_0^l w(x) \{ EJ v''''(x) - q(x) \} dx = 0, \quad \forall w(x) \in H_2^0([0, l])$$

\rightarrow LA FUNZIONE TEST DEVE ESSERE BUONA, IN MODO CHE LE DERIVATE ESISTANO

\downarrow
SI PUÒ CERCARE DI "SCARICARE" LE DERIVATE SULLA FUNZIONE TEST

\rightarrow SI OTTIENE UNA FORMA SIMMETRICA

$$\int_0^l w [EJ v^{IV} - q] dx = EJ \int_0^l w v^{IV} - \int_0^l w q =$$

$$= EJ \int_0^l [(w v''')' - w' v'''] - \int_0^l w q =$$

$$= EJ \int_0^l [(w v''')' - (w' v'')' + w'' v''] - \int_0^l w q =$$

$$= \int_0^l EJ v'' w'' + \underbrace{[EJ v''' w]_0^l}_{-T(x)} - \underbrace{[EJ v'' w']_0^l}_{-M(x)} - \int_0^l w q =$$

$$= \underbrace{\int_0^l EJ v'' w''}_{a[v,w]} - \underbrace{\int_0^l w q + [M(x)w'(x)]_0^l - [T(x)w(x)]_0^l}_{-l[w]} = 0, \forall w$$

FORZA BILINEARE

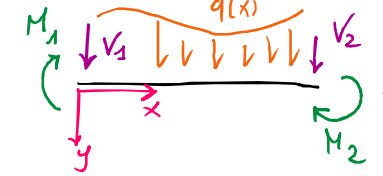
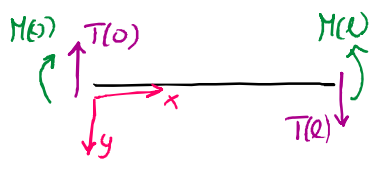
FORZA LINEARE, CON CARICHI DISTRIBUITI E CONTRIBUTI AL BORDO

$$[T w]_0^l = T(l)w(l) - T(0)w(0)$$

$$[M w']_0^l = M(l)w'(l) - M(0)w'(0)$$

→ GRAZIE ALLE CONDIZIONI AL CONTORNO SI POSSONO FISSARE I VALORI

SE SI ASSOCIA A w L'IDEA DI SPOSTAMENTO VIRTUALE, QUESTI TERMINI SONO IL LAVORO VIRTUALE DELLE FORZE CONCENTRATE AL BORDO



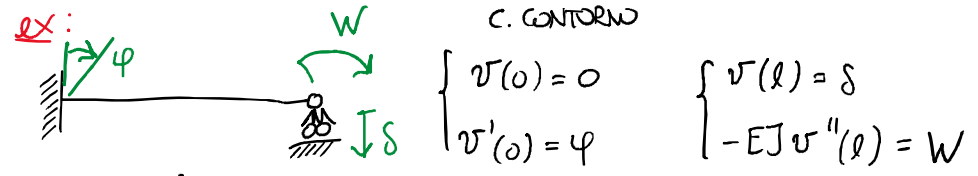
$$\left\{ \begin{array}{l} T(0) = -V_1 \\ T(l) = V_2 \\ M(0) = M_1 \\ M(l) = -M_2 \end{array} \right.$$

EQUILIBRIO TRAVE EULERO BERNOLLI

$$\Leftrightarrow a[v,w] = l[w], \forall w \in H_0^2$$

$$w \in H_0^2 = \left\{ g: [0,l] \rightarrow \mathbb{R}, g \in L_2, g' \in L_2, g'' \in L_2, g(\bar{x})=0, \forall \bar{x} \in [0,l] \right\}$$

$$L_2 = \left\{ f: [0,l] \rightarrow \mathbb{R}, \int_0^l |f|^2 < +\infty \right\}$$



$$\left\{ \begin{array}{l} v(0) = 0 \\ v'(0) = \varphi \end{array} \right. \quad \left\{ \begin{array}{l} v(l) = \delta \\ -EJ v''(l) = W \end{array} \right.$$

$$l[w] = \int_0^l q w + T(l)w(l) - T(0)w(0) - M(l)w'(l) + M(0)w'(0)$$

$$= \underbrace{V_2 w(l)}_{\text{INCOGNITE}} + \underbrace{V_1 w(0)}_{\text{INCOGNITE}} + \underbrace{M_2 w'(l)}_{\text{NOTO } M_2=W} + \underbrace{M_1 w'(0)}_{\text{INCOGNITE}} = W w'(l)$$

$$a[v,w] = \int_0^l EJ v'' w''$$

SI CIOCHE POSSO SCEGLIERE w AMMISSIBILE A ZERO DOVE v E' NOTO POSSO FISSARE IN MODO CHE LE INCOGNITE SPARISANO

$$a[v,w] = l[w], \forall w$$

SE SI INTERPRETA

$$w \equiv \delta v$$

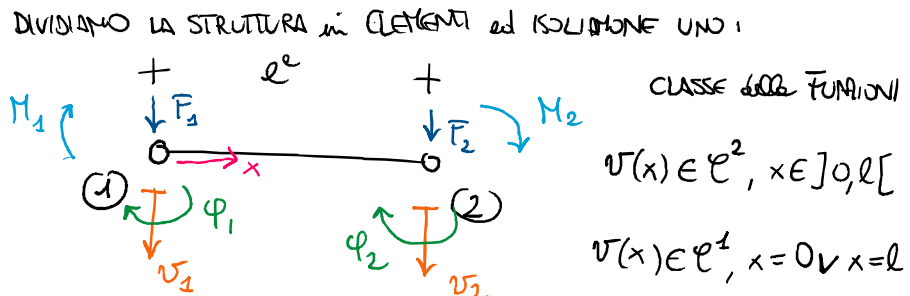
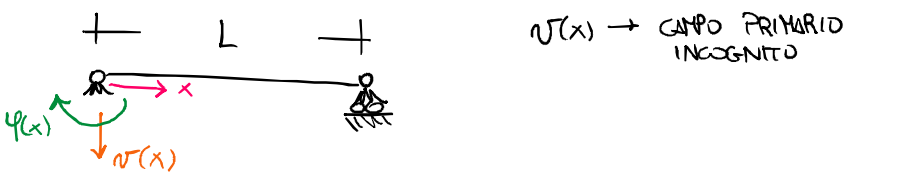
$$\overline{TL}[v] = \frac{1}{2} \int_0^l EJ (v'')^2 dx - \int_0^l q v - V_1 v(0) - M_1 v'(0) - V_2 v(l) - M_2 v'(l)$$

SI OTTENE IL PRINCIPIO VARIATIONALE SUL MINIMO DELL'ENERGIA POTENZIALE TOTALE

ENERGIA ELASTICA

LAVORO dei CARICHI ESTERNI

ELEMENTI FINITI PER STRUTTURE INFLESSE



DIVISIONE LA STRUTTURA IN ELEMENTI ed ISOLAZIONE UNO:
 CLASSE delle FUNZIONI
 $v(x) \in C^2, x \in]0, l[$
 $v(x) \in C^1, x=0 \vee x=l$

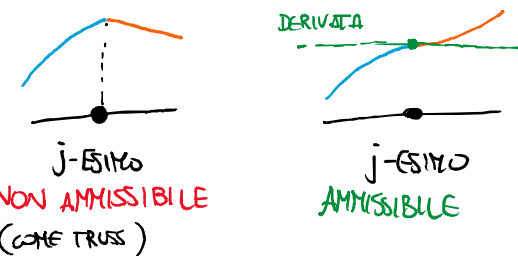
CHIEDERE C^1 AL BORDO
 IMPLICA che sia CONTINUA
 LA FUNZIONE E INCHIE
 LA DERIVATA di v

LE CONDIZIONI AL BORDO
 SONO MOLTO VINCOLANTI

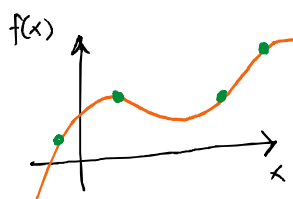
NEI NODI DEVO AVERE
 IL CONTROLLO di
 VALORE della FUNZIONE e
 della DERIVATA PRIMA

DEVO AVERE
 ALMENO
2 PARAMETRI LIBERI
 PER NODO

FUNZIONI QUADRATICHE
 SONO TROPPO Povere
 ↓
 solo 3 GRADI DI
 LIBERTA', NE SERVONO
 ALMENO 4 OGNI EF



OSSERVAZIONE: c'è un LEGAME con i POLINOMI INTERPOLATORI



DATO UN SET DI
 PUNTI
 $\{x_k, y_k\}$

POSSO TROVARE LA
 FUNZIONE che
 INTERPOLA
 I DATI

USO i
 POLINOMI di:
LAGRANGE
 ↓
 DEVO CONTROLLARE IL
 VALORE della FUNZIONE
 IN DETERMINATI
 PUNTI

POLINOMIO INTERPOLATORE di LAGRANGE, $m+1$ PUNTI

$$L_k = \prod_{i=0, i \neq k}^m \frac{x - x_i}{x_k - x_i}$$

$$f(x) = y_0 L_0(x) + y_1 L_1(x) + y_2 L_2(x) + \dots$$

$m=1 \rightarrow (0, u_1), (L, u_2)$ $L_0 = \frac{x-L}{0-L} = 1 - \frac{x}{L}$ $L_1 = \frac{x-0}{L-0} = \frac{x}{L}$ $f(x) = u_1(1 - \frac{x}{L}) + u_2 \frac{x}{L}$

QUANDO NON CONTROLLO SOLO
 IL VALORE della FUNZIONE,
 MA ANCHE LA DERIVATA
 PRIMA

POLINOMIO INTERPOLATORE
 con FUNZIONI di
 HERMITE

LE FUNZIONI di FORMA
 PER L'ELEMENTO di EB
 SONO dette
 FUNZIONI di FORMA
 HERMITIANE

CALCOLO delle FUNZIONI di FORMA

DEVO AVERE 2 gradi
 PER NODO

$$\rightarrow (v_i, \varphi_i)$$

4 gradi PER OGNI
 ELEMENTO

SERVIRà UNA MODELLO di
CUBICA

$$v(x) = a + bx + cx^2 + dx^3$$

a, b, c, d PARAMETRI di FITZ-GALERKIN

PASSIAMO ai gradi:

$$\begin{cases} v_1 = v(0) = a \\ \varphi_1 = v'(0) = b \\ v_2 = v(L) = a + bL + cL^2 + dL^3 \\ \varphi_2 = v'(L) = b + 2cL + 3dL^2 \end{cases}$$

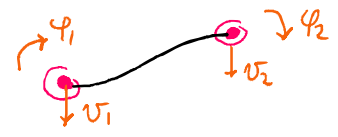
$$\rightarrow \begin{cases} a = v_1 \\ b = \varphi_1 \\ c = \frac{3}{L^2}(v_2 - v_1) - \frac{2}{L}\varphi_1 - \frac{\varphi_2}{L} \\ d = \frac{2}{L^3}(v_1 - v_2) + \frac{\varphi_1}{L^2} + \frac{\varphi_2}{L^2} \end{cases}$$

15 GRADI DI LIBERTÀ DELLA STRUTTURA

$$v(x) = v_1 \underbrace{\left(1 - \frac{3x^2}{l^2} + \frac{2x^3}{l^3}\right)}_{N_1(x)} + \varphi_1 \underbrace{\left(x - \frac{2x^2}{l} + \frac{x^3}{l^2}\right)}_{N_2(x)} + v_2 \underbrace{\left(\frac{3x^2}{l^2} - \frac{2x^3}{l^3}\right)}_{N_3(x)} + \varphi_2 \underbrace{\left(-\frac{x}{l} + \frac{x^2}{l^2}\right)}_{N_4(x)}$$

FUNZIONI DI FORMA HERMITIANE

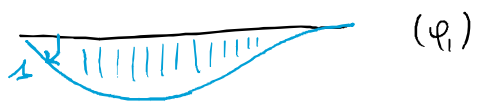
$$v(x) = N_1(x)v_1 + N_2(x)\varphi_1 + N_3(x)v_2 + N_4(x)\varphi_2$$



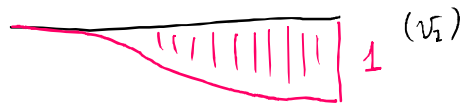
$$N_1(x) = 1 - 3\left(\frac{x}{l}\right)^2 + 2\left(\frac{x}{l}\right)^3$$



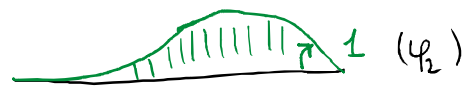
$$N_2(x) = x - \frac{2x^2}{l} + \frac{x^3}{l^2}$$



$$N_3(x) = 3\left(\frac{x}{l}\right)^2 - 2\left(\frac{x}{l}\right)^3$$



$$N_4(x) = -\frac{x}{l} + \frac{x^2}{l^2}$$



VALGONO SEMPRE LE STESSA PROPRIETÀ PER LE FUNZIONI DI FORMA
 " $N_i(x_j) = \delta_{ij}$ " → ORA PERÒ GLI SNO SPOSTE E ROTAZIONI,
 NON HA SENSO SOMMARLI...

OSS. $N_i(x)$ RAPPRESENTA LA SOLUZIONE DELLA TRAVE INCISTRATA CON
 CERNIERA UNITARIO RELATIVO ALLA "COMPONENTE i-ESIMA"

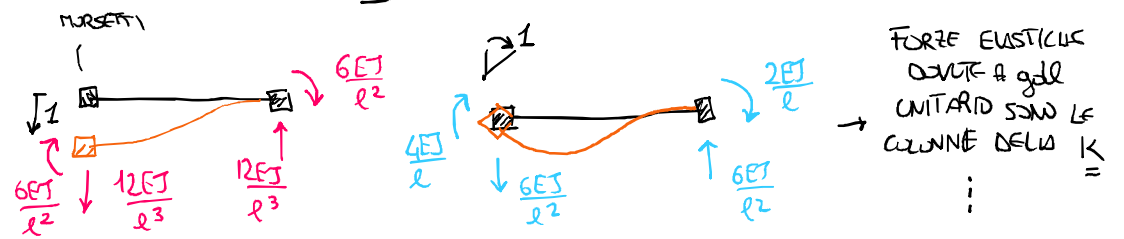
1 $EJv'''' = 0 \rightarrow v(x) = A + Bx + Cx^2 + Dx^3 \rightarrow$ CUBICA!

$\begin{cases} v(0) = 1 \\ v'(0) = 0 \end{cases} \begin{cases} v(l) = 0 \\ v'(l) = 0 \end{cases} \rightarrow$ PER APPLICARE LE C. CONTORNO SI HA STESSO SISTEMA DI PRIMO DA RISOLVERE

$v(x) = v_1 N_1 + \varphi_1 N_2 + v_2 N_3 + \varphi_2 N_4$

PERÒ QUI $v_1 = 1, v_2 = \varphi_2 = \varphi_1 = 0 \Rightarrow v(x) = N_1(x)$

N.B.: DA QUESTO ESEMPIO SI INTUISCE IL FORTE LEGAME TRA METODO AGLI SPOSTAMENTI
 E METODO AGLI ELEMENTI FINITI



MATRICE DI RIGIDEZZA

$$v(x) = v_1^e N_1 + \varphi_1^e N_2 + v_2^e N_3 + \varphi_2^e N_4 = \begin{bmatrix} N_1 & N_2 & N_3 & N_4 \end{bmatrix} \begin{Bmatrix} v_1 \\ \varphi_1 \\ v_2 \\ \varphi_2 \end{Bmatrix} = \underline{N}(x) \underline{U}^e$$

SICURE ENTRARE IN GIOCO LA CURVATURA,
 LA MATRICE STRAIN-DISPLACEMENT VADE LA
 DERIVATA SECONDA

$$-\chi(x) = v''(x) = \begin{bmatrix} N_1'' & N_2'' & N_3'' & N_4'' \end{bmatrix} \begin{Bmatrix} v_1 \\ \varphi_1 \\ v_2 \\ \varphi_2 \end{Bmatrix}$$

B(x)

MATRICE DELLE
 FUNZIONI DI
 FORMA
 $\underline{N}(x)$

VECTORE DEI
 GRADI DI
 LIBERTÀ NODALI,
 $\underline{U}(x)$

USIAMO METODO DEL RESIDUO RESIDUO

SUL SINGOLO ELEMENTO FINITO

$$\int_0^l EJ e^T v'' w'' - \int_0^l q^e(x) w - V_1^e w(0) - M_1^e w'(0) - V_2^e w(l) - M_2^e w'(l) = 0, \quad \forall w \in H_0^2$$

(LA STESSA DI PRIMA, VISTA GLOBALMENTE)

METODO di GALERKIN → STESSE FUNZIONI di FORMA PER $v_2 w$

$$v^e(x) = \underline{N} \underline{U}^e \rightarrow v_2^e(x) = \underline{B}(x) \underline{U}_e$$

$$w_2(x) = \underline{N} \underline{W}^e \rightarrow w_2^e(x) = \underline{B}(x) \underline{W}_e$$

Quindi:

$$\int_0^l \underline{W}^T \underline{B}^T EJ \underline{B} \underline{U} - \int_0^l q \underline{W}^T \underline{N}^T - \underline{W}^T \underline{\tilde{F}} = 0, \quad \forall \underline{W}$$

$$\underline{\tilde{F}} = \begin{Bmatrix} V_1 \\ M_1 \\ V_2 \\ M_2 \end{Bmatrix}, \quad \underline{W} = \begin{Bmatrix} w(0) \\ w'(0) \\ w(l) \\ w'(l) \end{Bmatrix}$$

$$\underline{W}^T \left\{ \left(\int_0^l \underline{B}^T EJ \underline{B} dx \right) \underline{U} - \int_0^l q \underline{N}^T - \underline{\tilde{F}} \right\} = 0, \quad \forall \underline{W}$$

$$\left(\int_0^l \underline{B}^T EJ \underline{B} dx \right) \underline{U} - \left(\int_0^l q \underline{N}^T - \underline{\tilde{F}} \right) = 0$$

\underline{K} MATRICE di RIGIDEZZA

\underline{F} VETTORE FORZE MODALI EQUIVALENTI

$$\underline{K}^e \underline{U}^e = \underline{F}^e$$

PROBLEMA ALGEBRICO SUL SINGOLO ELEMENTO FINITO

POI ASSEMBLATO!!!

$$\underline{B} = \left[\frac{12x}{l^3} - \frac{6}{l^2}, \frac{6x}{l^2} - \frac{4}{l}, \frac{6}{l^2} - \frac{12x}{l^3}, \frac{6x}{l^2} - \frac{2}{l} \right] \rightarrow \text{FONDAMENTALE PER IL CALCOLO della } \underline{K}$$

MATRICE di RIGIDEZZA

$$\underline{K} = \frac{EJ}{l^3} \begin{bmatrix} 12 & 6l & -12 & 6l \\ & 4l^2 & -6l & 2l^2 \\ \text{Sym} & & 12 & -6l \\ & & & 4l^2 \end{bmatrix}$$

MATRICE di RIGIDEZZA del SINGOLO EF PER IL MODELLO DI TRAVE ALLA EULERO-BERNOULLI (TRAVE SNELLA)

I CARICHI MODALI DIPENDONO dalla FORMA del CARICO DISTRIBUITO

$$\underline{F}^e = \int_0^l q(x) \begin{Bmatrix} N_1(x) \\ N_2(x) \\ N_3(x) \\ N_4(x) \end{Bmatrix} + \begin{Bmatrix} V_1 \\ M_1 \\ V_2 \\ M_2 \end{Bmatrix}$$

CARICO MODALE EQUIVALENTE AL CARICO DISTRIBUITO

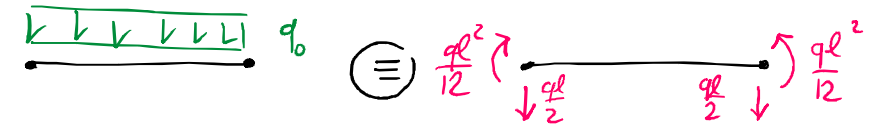
CARICHI NOTI SUI Nodi dell' ELEMENTO

NOTA: IL SEGNO DIPENDE dalla CONVENZIONE, NON DAL SEGNO delle AZIONI INTERNE N, M, T

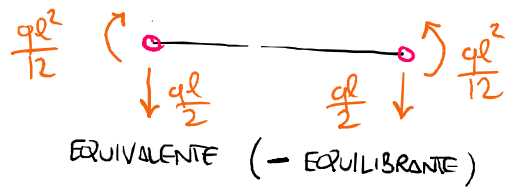
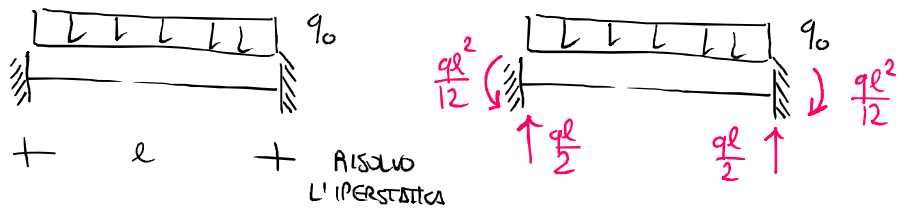
ESEMPIO: $q(x) = q_0$, CARICO DISTRIBUITO COSTANTE

$$\underline{F} = \int_0^l q_0 \begin{Bmatrix} 1 - \frac{3x^2}{l^2} + \frac{2x^3}{l^3} \\ x - \frac{2x^2}{l} + \frac{x^3}{l^2} \\ 3\left(\frac{x}{l}\right)^2 - 2\left(\frac{x}{l}\right)^3 \\ -\frac{x^2}{l} + \frac{x^3}{l^2} \end{Bmatrix} = q_0 \begin{Bmatrix} l(1-1+1/2) \\ l^2(1/2-2/3+1/4) \\ l(1-1/2) \\ l^2(1/3+1/4) \end{Bmatrix} = \begin{Bmatrix} \frac{q_0 l}{2} \\ \frac{q_0 l^2}{12} \\ \frac{q_0 l}{2} \\ -\frac{q_0 l^2}{12} \end{Bmatrix}$$

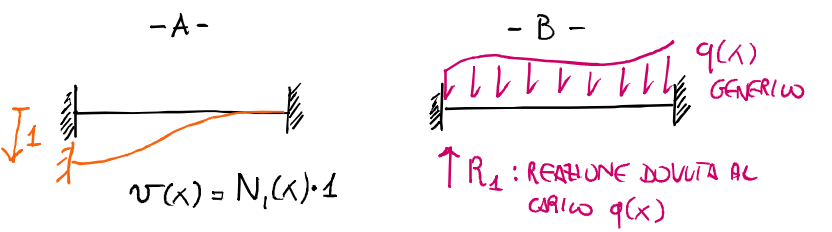
INTERPRET. MECCANICA → CARICO MODALE EQUIVALENTE DAL PUNTO DI VISTA ENERGETICO AL CARICO DISTRIBUITO



N₃B₃: RICORDANDO L'ANALOGIA FATTA CON LA TRAVE DOPPIO INCASTRO, IL SISTEMA DI CARICO NODALE EQUIVALENTE È UGUALE E CONTRARIO AL SISTEMA DI REAZIONI EQUILIBRANTI IL CARICO DISTRIBUITO

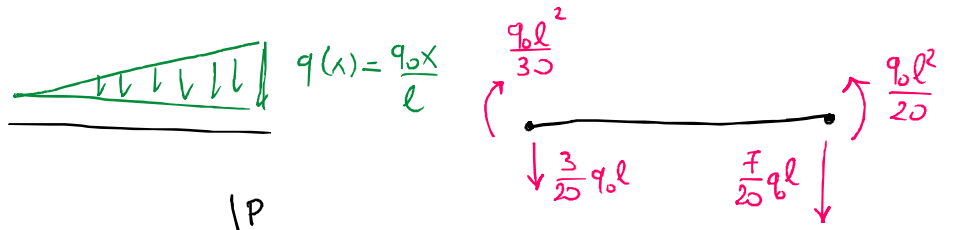


SI DIMOSTRA CON IL TEOREMA di BETTI

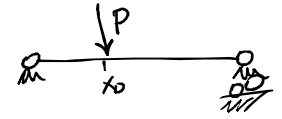


$L_{AB} = L_{BA}$
 UNICA FORZA CONCENTRATA DUALE A SPST. NON NULLI
 $L_{AB} = \int_0^l v(x) q(x) + 1 \cdot R_1$
 $\rightarrow R_1 = - \int_0^l q N_1(x)$
 $L_{BA} = 0$ (SPOSTAMENTI NULLI in B) DUE NASCONO FORZE IN B
 \rightarrow 1^a COMPONENTE di \underline{F}

CARICO LINEARE

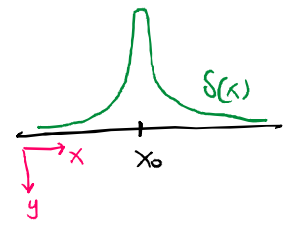


CARICO CONCENTRATO



\rightarrow È UN PROBLEMA NELLA MECCANICA DEL CONTINUO \rightarrow CALCOLO delle DISTRIBUZIONI \rightarrow ESTENSIONE nel CONTESTO delle FUNZIONI

METHOD 1) DELTA di DIRAC



$\delta(x)$ t.c. $\begin{cases} \delta(x) = 0, x \in \mathbb{R} \setminus \{x_0\} \\ \delta(x) = \infty, x = x_0 \end{cases}$

È INTEGRABILE
 $\int_{-\infty}^{+\infty} \delta(x) dx = 1$

POSSIMO VEDERE CARICO CONCENTRATO COME UN CARICO DISTRIBUITO $q(x) = P \delta(x)$

METHOD 2) SI DISCRETIZZA IN MODO da L PUNTO x_0 SITA SU UN NODO

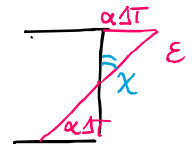
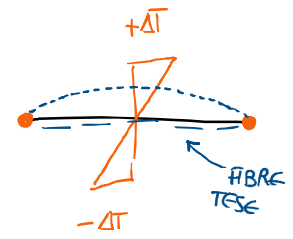
INFATTI SUI NODI DEGLI EF SONO AMMESSI DEI CARICHI CONCENTRATI



CARICHI TERMICI

BISOGNA INSERIRE NELLA FORMULAZIONE DELL'EF LA POSSIBILITÀ DI AVERE DISTORSIONI TERMICHE

\rightarrow DEVONO ENTRARE IN QUALCHE MODO NEI CARICHI ESTERNI



$|\chi^T| = \frac{\alpha \Delta T}{\frac{h}{2}} = \frac{2\alpha \Delta T}{h}$

$\chi^T = \chi_E + \chi_T$
 CURVATURA ELASTICA CURVATURA TERMICA

$\chi^T = - \frac{2\alpha \Delta T}{h}$

1) IN GENERALE LA CURVATURA TOTALE SI PUÒ VEDERE COME SOMMA DI UNA PARTE ELASTICA e UNA ANELASTICA (TERMICA, VISCOSA, ...)

$$\chi^{TOT}(x) = \chi_E(x) + \chi_T(x)$$

QUESTA VALE

$$\chi_E(x) = \frac{M}{EJ}$$

ABBIAMO SEMPRE LAVORATO CON QUELLO ELASTICO FINORA!!

2) LA CURVATURA LEGATA ALLA CURVATURA DELL'ASSE MEDIO È LA CURVATURA TOTALE (QUELA CHE EFFETTIVAMENTE SI REALIZZA)

$$\chi^{TOT} = -v''(x)$$

3) CONVIENE PARTIRE DALL'EPT, SAPENDO CHE $U(v) = \frac{1}{2} \int_0^l EJ \chi_E^2(x) dx$ (CLAUPEYRON)

$$\Pi[v] = \frac{1}{2} \int_0^l EJ \chi_E^2(x) dx - \int_0^l q(x)v(x) dx - V_1 v(0) - V_2 v(l) - M_1 v'(0) - M_2 v'(l) =$$

$$= \frac{1}{2} \int_0^l EJ (\chi^{TOT} - \chi_T)^2 dx - \int_0^l qv dx - V_1 v_1 - V_2 v_2 - M_1 \varphi_1 - M_2 \varphi_2 =$$

$$= \frac{1}{2} \int_0^l EJ v''^2 dx + \frac{1}{2} \int_0^l EJ \chi_T^2 dx - \int_0^l EJ v'' \chi_T dx - \int_0^l qv dx - \tilde{F} \cdot \underline{v}$$

SI PUÒ ELIMINARE

NON C'È v'' , QUINDI QUANDO SI FA IL DIFFERENZIALE È UNA COSTANTE E SPARISCE

ORA INTRODUCIAMO L'APPROSSIMAZIONE SUL GENERICO ELEMENTO FINITO

$$v(x) = \underline{N} \underline{U}$$

$$v''(x) = \underline{B}(x) \underline{U}$$

$$\Pi^e(\underline{U}) = \frac{1}{2} \int_0^l \underline{U}^T \underline{B}^T EJ \underline{B} \underline{U} dx - \int_0^l EJ \underline{U}^T \underline{B}^T \chi_T dx - \int_0^l \underline{U}^T \underline{N}^T q dx - \underline{U}^T \tilde{F} =$$

$$= \frac{1}{2} \underline{U}^T \left(\int_0^l \underline{B}^T EJ \underline{B} dx \right) \underline{U} - \underline{U}^T \left(\int_0^l EJ \chi_T \underline{B}^T dx + \int_0^l q \underline{N}^T dx + \tilde{F} \right)$$

MATRICE DI RIGIDITÀ "CLASSICA"

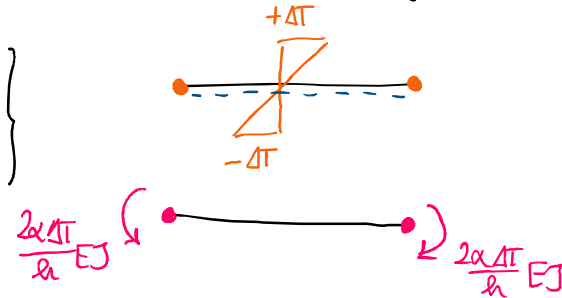
FORZA EQUIVALENTE NEI NODI, DOVUTA AL CARICO TERMICO!!

FORZA EQUIVALENTE DOVUTA AI CARICHI ESTERNI "CLASSICO"

UNA CURVATURA TERMICA ENTRA IN GIOCO COME VETTORE DELLE FORZE

$$\underline{F}_T = \int_0^l EJ \chi_T \underline{B}^T dx = \int_0^l \frac{2\alpha \Delta T}{h} EJ \underline{B}^T dx = \frac{2\alpha \Delta T}{h} EJ \int_0^l \underline{B}^T dx$$

$$\underline{F}_T = \frac{2\alpha \Delta T}{h} EJ \int_0^l \begin{Bmatrix} \frac{12x}{l^3} - \frac{6}{l^2} \\ \frac{6x}{l^2} - \frac{4}{l} \\ \frac{6}{l^2} - \frac{12x}{l^3} \\ -\frac{2}{l} + \frac{6x}{l^2} \end{Bmatrix} dx = \frac{2\alpha \Delta T}{h} EJ \begin{Bmatrix} 0 \\ -1 \\ 0 \\ 1 \end{Bmatrix}$$



E SULLE BIELLE?



$$\underline{\varepsilon}_T = \alpha \Delta T$$

$$U = \frac{1}{2} \int_0^l EA \varepsilon_E^2 dx = \frac{1}{2} \int_0^l EA (\varepsilon^{TOT} - \varepsilon_T)^2 dx = \frac{1}{2} \int_0^l EA u'^2 dx - \int_0^l EA u' \varepsilon_T dx$$

$$\underline{F}_T = \int_0^l \varepsilon_T EA \underline{N}'^T(x) dx = \alpha \Delta T EA \begin{Bmatrix} 1 \\ -1 \end{Bmatrix}$$

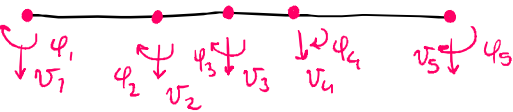
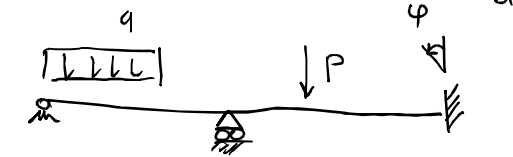
DALL' ELEMENTO FINITO alla TRAVE

CON LA PROCEDURA DI ASSEMBLAGGIO SI OTTIENE IL SISTEMA FINALE

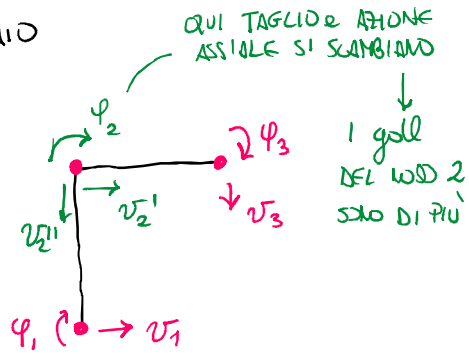
$$\underline{K} \underline{u} = \underline{F}$$

TUTTAVIA SE LA STRUTTURA è COMPLESSA L'ASSEMBLAGGIO DIVENTA COMPLICATO

LA DISCRETIZZAZIONE (E IL SUCCESSIVO ASSEMBLAGGIO) SONO SEMPLICI

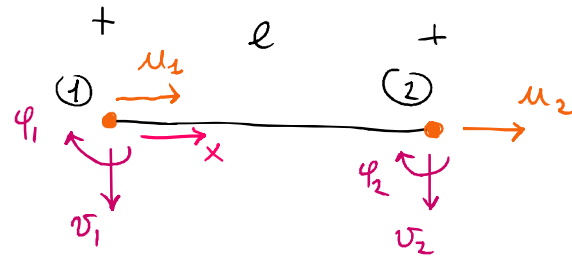


NELLE STRUTTURE A TELAI LE COSE SI COMPLICANO

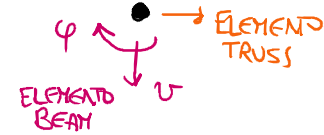


CONVIENE SOVRAPPORRE L'ELEMENTO TRUSS (che "SENTE" DEFORMAZIONI ASSIALI) E L'ELEMENTO BEAM (che "SENTE" LE DEFORMAZIONI TRASVERSALI)

ELEMENTO TRAVE ALLA EULERO-BERNOULLI COMPLETO



CI SONO 3 gradi PER NODO



$$\underline{U} = \begin{Bmatrix} u_1 \\ v_1 \\ \varphi_1 \\ u_2 \\ v_2 \\ \varphi_2 \end{Bmatrix} \quad \text{VETTORE dei GRADI di LIBERTA' GENERALIZZATI}$$

QUI AVRO' 2 CAMPI PRIMARI INCOGNITI

$$u(x), v(x)$$

$$\begin{cases} EA u'' + p = 0 \\ + \text{c. CONTORNO} \end{cases}$$

$$\begin{cases} EJ v'''' - q = 0 \\ + \text{c. CONTORNO} \end{cases}$$

QUINDI L'EPT DIVENTA

- PROBLEMA ASSIALE -

- PROBLEMA FLESSIONALE -

$$\pi[u, v] = \underbrace{\frac{1}{2} \int_0^l EA u'^2}_{\text{EN. ELASTICA ASSIALE}} + \underbrace{\frac{1}{2} \int_0^l EJ (-v'')^2}_{\text{EN. ELASTICA FLESSIONALE}} - \underbrace{\mathcal{L}[u, v]}_{\text{LAVORO ESTERNO}}$$

← SFRUTTARE IL FUNZIONALE + CONTORNO, PERMETTE DI SOMMARE I CONTRIBUTI !!

APPROSSIMAZIONE CAMPI

$$u(x) = [N_1^u(x) \quad N_2^u(x)] \begin{Bmatrix} u_1 \\ u_2 \end{Bmatrix}$$

$$v(x) = [N_1^v \quad N_2^v \quad N_3^v \quad N_4^v] \begin{Bmatrix} v_1 \\ \varphi_1 \\ v_2 \\ \varphi_2 \end{Bmatrix}$$

$$\begin{Bmatrix} u(x) \\ v(x) \end{Bmatrix} = \underbrace{\begin{bmatrix} N_1^u & 0 & 0 & N_2^u & 0 & 0 \\ 0 & N_1^v & N_2^v & 0 & N_3^v & N_4^v \end{bmatrix}}_{\text{MATRICE delle FUNZIONI DI FORMA COMPLETE}} \begin{Bmatrix} u_1 \\ v_1 \\ \varphi_1 \\ u_2 \\ v_2 \\ \varphi_2 \end{Bmatrix}$$

$$\underline{u}(x) = \underline{N} \underline{U}$$

$$\pi[u, v] = \frac{1}{2} \int_0^l (u')^T EA (u') + \frac{1}{2} \int_0^l v''^T EJ v'' - \mathcal{L}[u, v]$$

$$u'(x) = N_{1j}^i(x) U_j$$

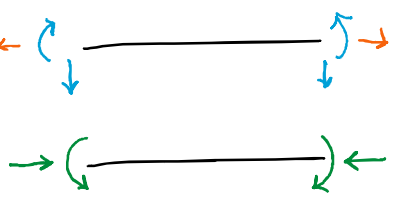
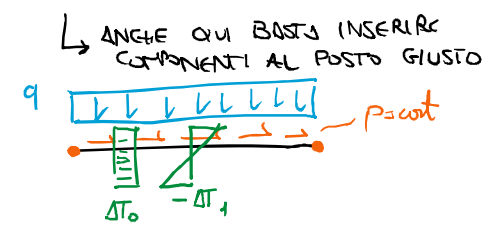
$$v''(x) = N_{2j}^{ii}(x) U_j$$

LA MATRICE DI RIGIDITÀ FINALE È una 6x6,
BASTA INSERIRE I TERMINI NEL MODO CORRETTO

$$K = \begin{bmatrix} \frac{EA}{l} & 0 & 0 & -\frac{EA}{l} & 0 & 0 \\ 0 & \frac{12EJ}{l^3} & \frac{6EJ}{l^2} & 0 & -\frac{12EJ}{l^3} & \frac{6EJ}{l^2} \\ 0 & \frac{6EJ}{l^2} & \frac{4EJ}{l} & 0 & -\frac{6EJ}{l^2} & \frac{2EJ}{l} \\ -\frac{EA}{l} & 0 & 0 & \frac{EA}{l} & 0 & 0 \\ 0 & -\frac{12EJ}{l^3} & -\frac{6EJ}{l^2} & 0 & \frac{12EJ}{l^3} & -\frac{6EJ}{l^2} \\ 0 & \frac{6EJ}{l^2} & \frac{2EJ}{l} & 0 & -\frac{6EJ}{l^2} & \frac{4EJ}{l} \end{bmatrix}$$

u_1
 v_1
 φ_1
 u_2
 v_2
 φ_2

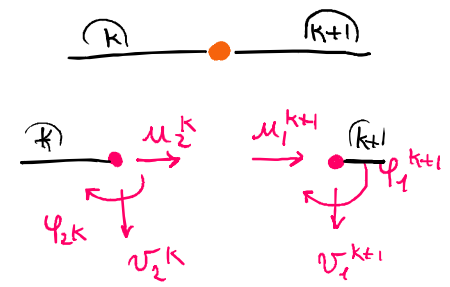
PER QUANTO RIGUARDA I CARICHI SI FA CALCOLO ANALOGO



$$F = \frac{1}{l} \int_0^l N^T \begin{Bmatrix} p(x) \\ q(x) \end{Bmatrix} dx$$

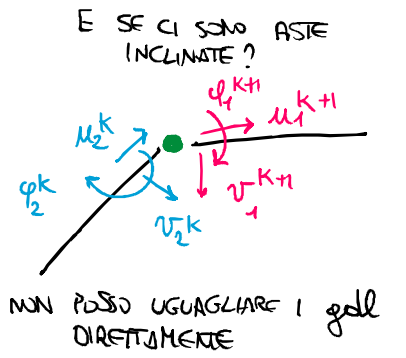
$$F = \begin{Bmatrix} \frac{pl}{2} + \alpha \Delta T_0 EA \\ \frac{ql}{2} \\ \frac{ql^2}{12} - \frac{2\alpha \Delta T_1 EJ}{l} \\ \frac{pl}{2} - \alpha \Delta T_0 EA \\ \frac{ql}{2} \\ -\frac{ql^2}{12} + \frac{2\alpha \Delta T_1 EJ}{l} \end{Bmatrix}$$

L'ASSEMBLAGGIO È ANCORA DELICATO → CI POSSONO ESSERE PROBLEMI NELLE ASTE INCLINATE



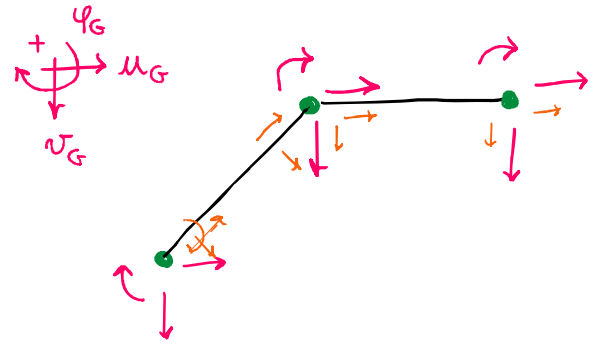
ASSEMBLARE SIGNIFICA INSERIRE:

$$\begin{cases} u_2^k = u_1^{k+1} \\ v_2^k = v_1^{k+1} \\ \varphi_2^k = \varphi_1^{k+1} \end{cases}$$



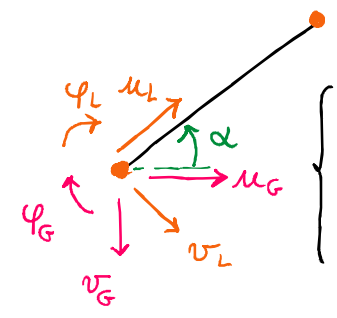
LA SOLUZIONE È DEFINIRE DEI GRADI DI LIBERTÀ GLOBALI DEFINITI IN UN SISTEMA DI RIFERIMENTO GLOBALE PER TUTTI I NODI

SERVE INTRODURRE UNA ROTAZIONE DEL SISTEMA LOCALE DELL'ELE AL SIST. GLOBALE



QUINDI: MATRICE DI ROTAZIONE

$$\begin{Bmatrix} u^L \\ v^L \\ \varphi^L \end{Bmatrix} = \begin{bmatrix} \cos\alpha & -\sin\alpha & 0 \\ \sin\alpha & \cos\alpha & 0 \\ 0 & 0 & 1 \end{bmatrix} \begin{Bmatrix} u_G \\ v_G \\ \varphi_G \end{Bmatrix}$$



IL LEGAME TRA LOCALE E GLOBALE SI SCRIVE:

$$\begin{cases} u^L = u_G \cos\alpha - v_G \sin\alpha \\ v^L = u_G \sin\alpha + v_G \cos\alpha \\ \varphi^L = \varphi_G \end{cases}$$

$$T_0 = \begin{bmatrix} \cos\alpha & -\sin\alpha & 0 \\ \sin\alpha & \cos\alpha & 0 \\ 0 & 0 & 1 \end{bmatrix}$$

VECTORI gradi SINGOLO NODO

$$u^L = T_0 u^G$$

IL VETTORE DEI GRADI DI LIBERTÀ DELL' ELEMENTO E'

$$\underline{U}^L = \begin{Bmatrix} u_1^L \\ v_1^L \\ \varphi_1^L \\ u_2^L \\ v_2^L \\ \varphi_2^L \end{Bmatrix} = \begin{bmatrix} \underline{T}_0 & \underline{0} \\ \vdots & \vdots \\ \underline{0} & \underline{T}_0 \end{bmatrix} \begin{Bmatrix} u_1^G \\ v_1^G \\ \varphi_1^G \\ u_2^G \\ v_2^G \\ \varphi_2^G \end{Bmatrix} = \underline{T} \underline{U}^G$$

MATRICE di ROTAZIONE dell' ELEMENTO \underline{T}

QUINDI $\underline{U}^L = \underline{T} \underline{U}^G \rightarrow$ USIAMO NELL' EPT

$$\underline{\Pi}[\underline{u}] = \frac{1}{2} \underline{U}^L \cdot \underline{K}^L \underline{U}^L - \underline{U}^L \cdot \underline{F}^L =$$

$$= \frac{1}{2} \underline{T} \underline{U}^G \cdot \underline{K}^L \underline{T} \underline{U}^G - \underline{T} \underline{U}^G \cdot \underline{F}^L =$$

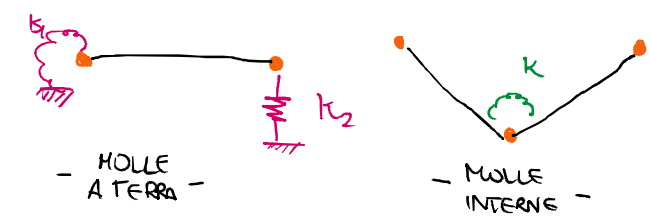
$$= \frac{1}{2} \underline{U}^G \cdot \underline{T}^T \underline{K}^L \underline{T} \underline{U}^G - \underline{U}^G \cdot \underline{T}^T \underline{F}^L$$

\underline{K} GLOBALE \underline{F} GLOBALE

IN GENERALE $\underline{K} = \underline{T}^T \underline{K}^L \underline{T}$, $\underline{F} = \underline{T}^T \underline{F}^L$ ← ASSEMBLAGGIO CORRETTO

\underline{K}^L e \underline{F}^L NOTE della FORMULAZIONE

MOLLE ED ELEMENTI AD ELASTICITÀ CONCENTRATA



DUE TIPOLOGIE di VINCOLI ELASTICI → BISOGNA INSERIRE NELLA FORMULAZIONE FEM LA COMPONENTE di ENERGIA ELASTICA della MOLLA

MOLLE A TERRA

ENERGIA ELASTICA SINGOLA EF $U[u] = \frac{1}{2} \underline{U}_e^T \underline{K}_e \underline{U}_e + \frac{1}{2} K_1 U_2^2 + \frac{1}{2} K_2 U_3^2$

golLE LEGATO alle MOLLA

QUINDI $\frac{1}{2} K_1 U_2^2 = \underline{U}_e^T \begin{bmatrix} 0 & 0 & 0 & 0 \\ 0 & K_1 & 0 & 0 \\ 0 & 0 & 0 & 0 \\ 0 & 0 & 0 & 0 \end{bmatrix} \underline{U}_e + \underline{U}_e^T \begin{bmatrix} 0 & 0 & 0 & 0 \\ 0 & 0 & 0 & 0 \\ 0 & 0 & K_2 & 0 \\ 0 & 0 & 0 & 0 \end{bmatrix} \underline{U}_e$

I TERMINI AGGIUNTI VANNO SCRITTI COME FUNZIONE dell' INTERO \underline{U}_e

LA MATRICE di RIGIDEZZA FINALE è $\underline{K} = \underline{K}_1 + \underline{K}_2$

MATRICE di RIGIDEZZA delle MOLLE CONCENTRATE TRASLAT. e ROTAT. → ADDITIVITÀ !! SI SOMMANO ALLA \underline{K} dell' EF \underline{K}_1 e \underline{K}_2

$$\underline{K} = \begin{bmatrix} \frac{12EJ}{l^3} & \frac{6EJ}{l^2} & -\frac{12EJ}{l^3} & \frac{6EJ}{l^2} \\ \frac{6EJ}{l^2} & 4EJ + K_1 & -6EJ/l^2 & 2EJ/l \\ -\frac{12EJ}{l^3} & -6EJ/l^2 & \frac{12EJ}{l^3} + K_2 & -6EJ/l^2 \\ \frac{6EJ}{l^2} & 2EJ/l & -6EJ/l^2 & 4EJ/l \end{bmatrix}$$

MOLLE INTERNE

SONO DEL TIPO $U = \frac{1}{2} K_3 (U_i^k - U_j^{k+1})^2$

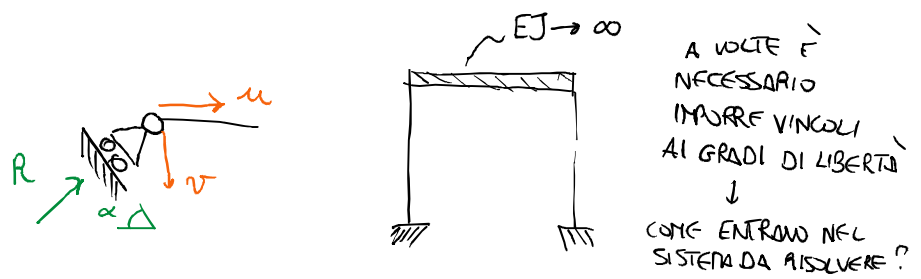
coinvolgono golLE di ELEMENTI DIVERSI

COME PRIMA, MAI:

i) BISOGNA LAVORARE SULLA MATRICE ASSEMBLATA

ii) LA "MATRICE della MOLLA" DA AGGIUNGERE ALLE \underline{K} GLOBALE è del TIPO $\underline{K} = \begin{bmatrix} K_3 & -K_3 \\ -K_3 & K_3 \end{bmatrix}$ $\begin{matrix} U_i^k \\ U_j^{k+1} \end{matrix}$

VINCOLI AGGIUNTIVI al SISTEMA



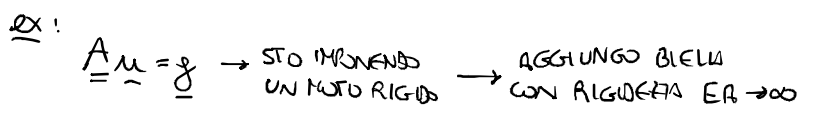
MULTIFREEDOM CONSTRAINTS

$$\underline{A} \underline{u} = \underline{g}$$

CONSIDERATO SOLO VINCOLI LINEARI TRA i gdl

3 MODI PER TENERNE CONTO:

i) PENALTY METHOD: SI AGGIUNGE UN VINCOLO ELASTICO CON RIGIDEZZA OPERAZIONALE



ii) METHOD dei MULTIPLICATORI di LAGRANGE

PROBLEMA IN FORMA DEBOLE \rightarrow LO TRASFORMO IN MINIMO VINCOLATO

$\min \pi \rightarrow \min \mathcal{L}$ \mathcal{L} : LAGRANGIANA

$$\mathcal{L} = \pi - \underline{\lambda}^T (\underline{A} \underline{u} - \underline{g})$$

← SI FA IL MINIMO di QUESTA, CONSIDERANDO ANCHE I NUOVI PARAMETRI $\underline{\lambda}$

MULTIPLICATORI di LAGRANGE ← VINCOLO

$$\frac{\partial \mathcal{L}}{\partial \underline{u}} = 0 \text{ ma anche } \frac{\partial \mathcal{L}}{\partial \underline{\lambda}} = 0 \leftarrow \text{CONDIZIONI AGGIUNTIVE } \mathcal{L} = \mathcal{L}(\underline{u}, \underline{\lambda})$$

ALCA FINE, IL MINIMO di QUESTA LAGRANGIANA CONDUCE AL PROBLEMA

$$\begin{bmatrix} \underline{K} & \underline{A}^T \\ \underline{A} & \underline{0} \end{bmatrix} \begin{Bmatrix} \underline{u} \\ \underline{\lambda} \end{Bmatrix} = \begin{Bmatrix} \underline{f} \\ \underline{g} \end{Bmatrix}$$

$\underline{\lambda}$, dal PUNTO DI VISTA FISICO, SONO LE FORZE DOVUTE AI VINCOLI

ii) METHOD MASTER-SLAVE

$\underline{A} \underline{u} = \underline{g} \rightarrow \underline{A}$ NON È QUADRATA, ha DIMENSIONI GENERICHE (TANTE RIGHE QUANTE EQUAZIONI)

POSSO RISOLVERE IL SISTEMA e SCRIVERE ALCUNI gdl IN FUNZIONE degli ALTRI...

$$\underline{u} = \underline{L} \underline{q}$$

POSSO PARTIZIONARE IL VETTORE \underline{u} dei gdl IN DUE INSISTI: **NODI MASTER** \underline{q} , LE VERE INCOGNITE DEL PROBLEMA, E **NODI SLAVE** CHE SONO LEGATI

AI NODI MASTER da $\underline{A} \underline{u} = \underline{g}$

NODI MASTER $\underline{q} \rightarrow$ VETTORE dei gdl LINEARMENTE INDIPENDENTI

L'EPT si SCRIVE

$$\pi[\underline{u}] = \frac{1}{2} \underline{u}^T \underline{K} \underline{u} - \underline{u}^T \underline{F} = \frac{1}{2} \underline{q}^T \underbrace{\underline{L}^T \underline{K} \underline{L}}_{\underline{\tilde{K}}} \underline{q} - \underline{q}^T \underbrace{\underline{L}^T \underline{F}}_{\underline{\tilde{F}}}$$

IL PROBLEMA da RISOLVERE è $\underline{\tilde{K}} \underline{q} = \underline{\tilde{F}}$

UNA VOLTA NOTO \underline{q} si CALCOLA $\underline{u} = \underline{L} \underline{q}$

C'È LEGAME "DIRETTO" TRA \underline{A} ed \underline{L}

$$\underline{L} = \text{nullspace}(\underline{A})$$

← COME, SI CALCOLA DIRETTAMENTE

NULLSPACE di \underline{A} :
TUTTI gli \underline{y} t.c. $\underline{A} \underline{y} = 0$ $\underline{L} = [\underline{y}_1 | \underline{y}_2 | \dots]$
(\underline{y} LINEARMENTE INDIPENDENTI)